

# 1 Étude de chaînes de transmission en bande de base sur canal AWGN

## 1.1

Modulateur jusqu'à  $\oplus$

Canal de propagation  $\oplus$

Démodulateur le reste

## 1.2

### 1.2.1 Chaîne 1

- $h, h_r$ : carrés de 0 à  $T_s$
  - $g$  : triangle symétrique de 0 à  $2T_s$ , pic à  $g(T_s) = T_s$ .
1.  $\exists t_0 = T_s, g(t_0) \neq 0$  et  $g(t_0 + pT_s) = 0 \forall p \in \mathbb{Z}^*$  Donc la chaîne 1 respecte ta daronne.
  2. En l'absence d'interférences entre symboles, l'échantillon  $z(t_0 + mT_s)$  utilisé pour restimer le symbole  $a_m$  émis à  $mT_s$  est de la forme

$$z(t_0 + mT_s) = z_m = a_m g(t_0) + w_m$$

où

$$w_m = w(t_0 + mT_s)$$

$$\text{SNR} := \frac{E(|a_m g(t_0)|^2)}{\sigma_w^2} = \frac{(\sigma^2 a + |m_a|^2) |g(t_0)|^2}{\sigma_w^2} = \frac{2T_s}{N_0}$$

Avec  $\sigma a$  variance des symboles

et

$$\begin{aligned} \sigma_w^2 &= P_w = \int |H_r(f)|^2 S_m(f) \\ &= \int |h(t)|^2 dt \times \frac{2N_0}{2} = T_s \frac{N_0}{2} \end{aligned}$$

3. Figure: deux gaussiennes avec des pics à  $\pm g(t_0)$ , se croisent en  $t = S = 0$

On choisit le seuil de décision à  $S = 0$  car pour  $z_m < 0$ ,  $p(z_m | a_m = -1) > p(z_m - a_m = 1)$  et, pour  $z_m = 0$ ,  $p(z_m | a_m = +1) > p(z_m | a_m = 1)$

4.  $P_b = P(a_m = 1) \underbrace{P(\hat{a}_m = -1|a_m = 1)}_A + P(a_m = -1) \underbrace{P(\hat{a}_m = +1|a_m = -1)}_B$  Si les symboles sont iid alors  $P(a_m = 1) = P(a_m = -1) = \frac{1}{2}$

$$\begin{aligned}
A &= P(z_m < 0 | a_m = 1) \\
&= P(g(t_0) + w_m < 0) \\
&= P(w_m < -g(t_0)) \\
&= P(w_m > g(t_0)) \\
&= \int_{g(t_0)}^{\infty} \frac{1}{\sqrt{2\pi}\sigma_w} e^{-\frac{x^2}{2\sigma_w^2}} dx \\
&= \int_{\frac{g(t_0)}{\sigma_w}}^{\infty} \frac{1}{\sqrt{2\pi}} e^{-\frac{u^2}{2}} \sigma_w \\
&= Q\left(\frac{g(t_0)}{\sigma_w}\right) \\
&= Q\left(\frac{T_s}{\sigma_w}\right)
\end{aligned}$$

$$\begin{aligned}
B &= P(z_m > 0 | a_m = -1) \\
&= P(-g(t_0) + w_m > 0) \\
&= P(w_m > g(t_0)) \\
&= Q\left(\frac{T_s}{\sigma_w}\right)
\end{aligned}$$

Donc

$$P_s = P_b = Q\left(\frac{T_s}{\sigma_w}\right)$$

5.

$$\sigma_w^2 = \frac{N_0 T_s}{2}$$

6.

$$E_s = P_x T_s$$

$$\begin{aligned}
P_x &= \int S_x(f) df \\
&= \frac{\sigma_a^2}{T_s} \int |H(f)|^2 df \\
&= \sigma_a^2 \\
&= 1
\end{aligned}$$

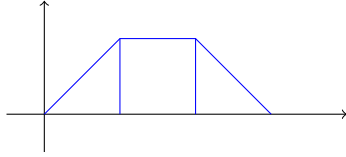
$$E_s = T_s \quad \text{car } E_s = g(t_0)$$

7.

$$E_s = \log_2(M)E_b \quad M = 2, E_s = E_b = T_s \text{ et } P_b = Q\left(\frac{E_b}{\sqrt{N_0 E_b}}\right) = Q\left(\sqrt{\frac{2E_b}{N_0}}\right)$$

### 1.2.2 Chaîne 2

- $h$ : carré de 0 à  $T_s$
- $h_r$ : carré de 0 à  $\frac{T_s}{2}$



- $g$  :

1.  $\exists t_0 \in [\frac{T_s}{2}, T_s], g(t_0) \neq 0$  et  $g(t_0 + pT_s) = 0 \quad \forall p \in \mathbb{Z}^*$  Donc la chaîne 2 respecte ta daronne.
2. En l'absence d'interférences entre symboles, l'échantillon  $z(t_0 + mT_s)$  utilisé pour restimer le symbole  $a_m$  émis à  $mT_s$  est de la forme

$$z(t_0 + mT_s) = z_m = a_m g(t_0) + w_m$$

où

$$w_m = w(t_0 + mT_s)$$

$$\text{SNR} := \frac{E(|a_m g(t_0)|^2)}{\sigma_w^2} = \frac{(\sigma^2 a + |m_a|^2)|g(t_0)|^2}{\sigma_w^2} = \frac{T_s}{N_0}$$

Avec  $\sigma a$  variance des symboles

et

$$\begin{aligned} \sigma_w^2 &= P_w = \int |H_r(f)|^2 S_m(f) \\ &= \int |h(t)|^2 dt \times \frac{2N_0}{2} = T_s \frac{N_0}{4} \end{aligned}$$

3. **Figure: deux gaussiennes avec des pics à  $\pm g(t_0)$ , se croisent en  $t = S = 0$**  On choisit le seuil de décision à  $S = 0$  car pour  $z_m < 0$ ,  $p(z_m | a_m = -1) > p(z_m - a_m = 1)$  et, pour  $z_m = 0$ ,  $p(z_m | a_m = +1) > p(z_m | a_m = 1)$

4.  $P_b = P(a_m = 1) \underbrace{P(\hat{a}_m = -1|a_m = 1)}_A + P(a_m = -1) \underbrace{P(\hat{a}_m = +1|a_m = -1)}_B$  Si les symboles sont iid alors  $P(a_m = 1) = P(a_m = -1) = \frac{1}{2}$

$$\begin{aligned}
A &= P(z_m < 0 | a_m = 1) \\
&= P(g(t_0) + w_m < 0) \\
&= P(w_m < -g(t_0)) \\
&= P(w_m > g(t_0)) \\
&= \int_{g(t_0)}^{\infty} \frac{1}{\sqrt{2\pi}\sigma_w} e^{-\frac{x^2}{2\sigma_w^2}} dx \\
&= \int_{\frac{g(t_0)}{\sigma_w}}^{\infty} \frac{1}{\sqrt{2\pi}\sigma_w} e^{-\frac{u^2}{2}} \sigma_w \\
&= Q\left(\frac{g(t_0)}{\sigma_w}\right) \\
&= Q\left(\frac{T_s}{2\sigma_w}\right)
\end{aligned}$$

$$\begin{aligned}
B &= P(z_m > 0 | a_m = -1) \\
&= P(-g(t_0) + w_m > 0) \\
&= P(w_m > g(t_0)) \\
&= Q\left(\frac{T_s}{2\sigma_w}\right)
\end{aligned}$$

Donc

$$P_s = P_b = Q\left(\frac{T_s}{2\sigma_w}\right)$$

5.

$$\sigma_w^2 = \frac{N_0 T_s}{2}$$

6.

$$E_s = P_x T_s$$

$$\begin{aligned}
P_x &= \int S_x(f) df \\
&= \frac{\sigma_a^2}{T_s} \int |H(f)|^2 df \\
&= \sigma_a^2 \\
&= 1
\end{aligned}$$

$$E_s = T_s \quad \text{car } E_s = g(t_0)$$

7.

$$E_s = \log_2(M)E_b \quad M = 2, E_s = E_b = T_s \text{ et } P_b = Q\left(\frac{E_b}{\sqrt{N_0 E_b}}\right) = Q\left(\sqrt{\frac{2E_b}{N_0}}\right)$$

### 1.3

Le cas de la chaîne 1 correspond à l'utilisation d'un filtre adapté. Tout changement par rapport à ce cas est donc sous optimal en termes de probabilité d'erreur binaire.

## 2 Étude du mapping

### 2.1

Le mapping respecte le code de *GRAY*.

**Figure:** 4 gaussiennes avec des pics en  $\{\pm 1, \pm 3\}g(t_0)$

$$\begin{aligned} p(\hat{a}_m = -1 | a_m = -3) &= p(z_m < 0 | a_m = -3) \\ &= p(z(t_0 + mT_s) < 0 | a_m = -3) \\ &= p(a_m g(t_0) + w_m < 0 | a_m = -3) \quad \text{avec } w_m \sim \mathcal{N}(0, \delta_w^2) \text{ et } \delta_w^2 = \frac{N_0}{2} \int |h_r(t)|^2 dt \\ &= p(-2g(t_0) < -3g(t_0) + w_m < 0) \\ &= p(w_m \in [1, 3]g(t_0)) \\ &= Q\left(\frac{g(t_0)}{\delta_w}\right) - Q\left(\frac{3g(t_0)}{\delta_w}\right) \end{aligned}$$